



AGH UNIVERSITY OF SCIENCE  
AND TECHNOLOGY

# ***Cyfrowe Przetwarzanie Sygnałów***

**Wykład 07**

## **Filtry typu FIR**

**Filtry o skończonej odpowiedzi impulsowej**

**dr inż. Przemysław Sypka**

[sypka@agh.edu.pl](mailto:sypka@agh.edu.pl)

<https://iet-agh.webex.com/meet/przemyslaw.sypka>  
[home.agh.edu.pl/~sypka/dydaktyka/lato\\_2ntwk\\_cps/](https://home.agh.edu.pl/~sypka/dydaktyka/lato_2ntwk_cps/)

- 1. Filtry typu FIR**
- 2. Metody projektowania filtrów FIR**
  - a. Filtr idealny
  - b. Metoda okien czasowych
  - c. Metoda okien czasowych połączona z DFT
  - d. Projektowanie przy pomocy szeregu Fourier'a
  - e. Metody aproksymacyjne
- 3. Przekształcenia filtrów**
  - a. Filtr wszechprzepustowy

# Filtry FIR

ang. *Finite Impulse Response*

## FIR

- przyczynowy system cyfrowy **LTI NIEREKUSRYWNY**

- bez sprzężenia zwrotnego
- skończona** odpowiedź impulsowa
- równanie różnicowe

$$y[n] = \sum_{r=0}^R h_r \cdot x[n-r]$$

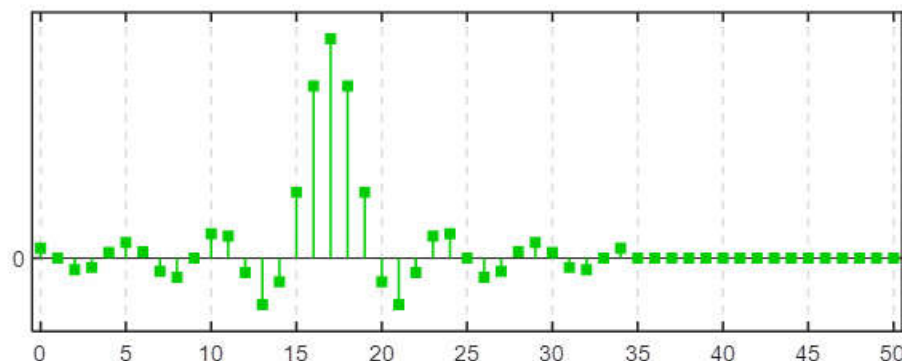
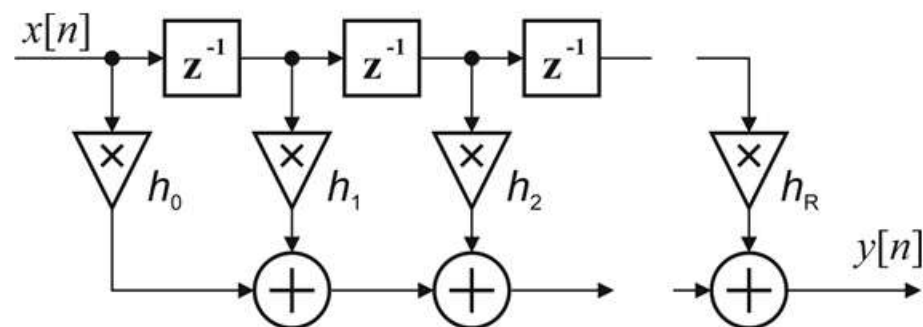
- transmitancja

$$H(z) = \sum_{r=0}^R h_r \cdot z^{-r}$$

- $R$  – rząd filtru (krotność bieguna)
- $R + 1$  – liczba współczynników
- odpowiedź na wymuszenie

$$y[n] = h[n] * x[n] \Leftrightarrow Y(z) = H(z) \cdot X(z)$$

- asymptotycznie stabilne**  $\sum |h[n]| < \infty$  (jeśli realizowalne)



# Filtry FIR

## charakterystyka częstotliwościowa (1)

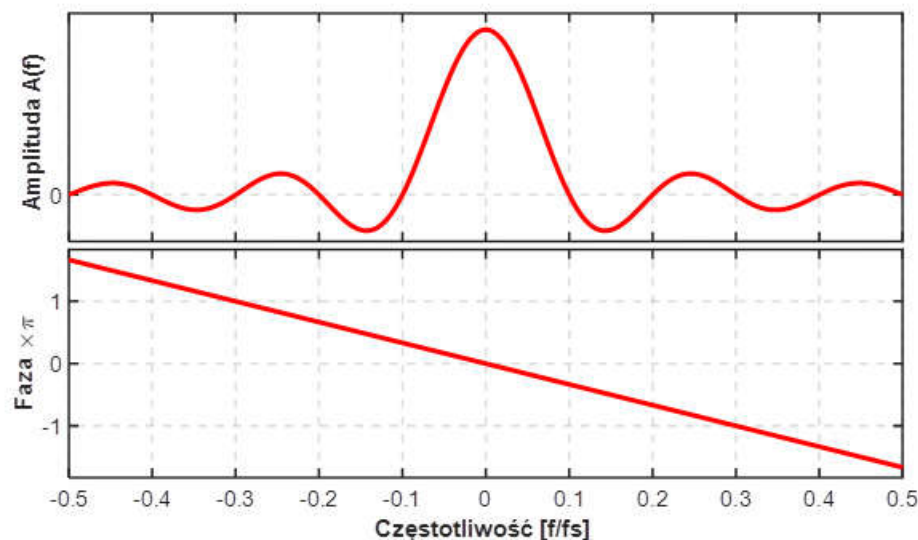
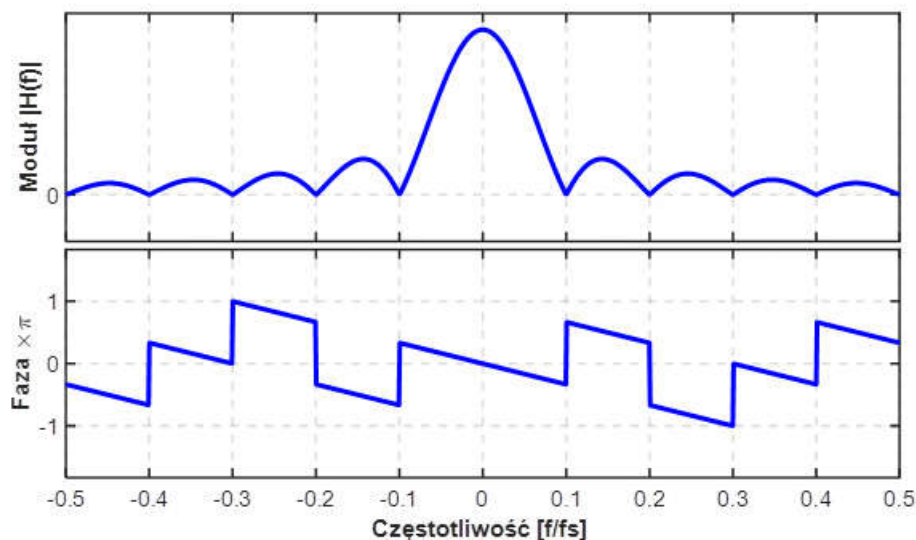
$$H(f) = H[k] = H(z) \Big|_{z=e^{j\frac{2\pi}{N}k}}$$

$$H(f) = A(f) \cdot e^{j\varphi(f)} \quad \text{dla } f \in \left[0, \frac{1}{2}\right]$$

$$H(f) = \sum_{r=0}^R h_r \cdot z^{-r} = \sum_{r=0}^R h_r \cdot e^{-j2\pi fr}$$

$$H(f) = |H(f)| \cdot e^{j\varphi(f)} \quad \text{dla } f \in \left[0, \frac{1}{2}\right]$$

$$H(f) = \sum_{r=0}^R h_r \cdot \cos(2\pi fr) - j \sum_{r=0}^R h_r \cdot \sin(2\pi fr)$$



# Filtry FIR

## charakterystyka częstotliwościowa (2)

$$H(f) = H[k] = H(z) \Big|_{z=e^{j\frac{2\pi}{N}k}}$$

$$H(f) = A(f) \cdot e^{j\varphi(f)} \quad \text{dla } f \in \left[0, \frac{1}{2}\right]$$

$$H(f) = \sum_{r=0}^R h_r \cdot z^{-r} = \sum_{r=0}^R h_r \cdot e^{-j2\pi fr}$$

$$H(f) = |H(f)| \cdot e^{j\varphi(f)} \quad \text{dla } f \in \left[0, \frac{1}{2}\right]$$

$$H(f) = \sum_{r=0}^R h_r \cdot \cos(2\pi fr) - j \sum_{r=0}^R h_r \cdot \sin(2\pi fr)$$

$$Y(f) = |H(f)| \cdot e^{j\varphi_H(f)} \cdot |X(f)| \cdot e^{j\varphi_X(f)} = \mathbf{|H(f)|} \cdot \mathbf{|X(f)|} \cdot e^{j\{\varphi_H(f) + \varphi_X(f)\}}$$

$|H(f)|$  - wzmocnienie (tłumienie) amplitud harmoniczných

$\varphi(f)$  - opóźnienie harmoniczných (zmiana kształtu)

$$G(f) = -\frac{d\varphi(f)}{df} - \text{opóźnienie grupowe}$$



# Filtry FIR

## liniowa charakterystyka fazowa

$$G(f) = -\frac{d\varphi(f)}{df} = \text{const} \Leftrightarrow \varphi(f) = -2\pi \cdot \tau \cdot f \quad \text{ogólnie: } \varphi(f) = \alpha \cdot f + \beta$$

**SYMETRYCZNA**  
odpowieź impulsowa

$$h_r = h_{R-r}$$

$$\tau = \frac{R}{2}$$

$$\varphi(f) = -2\pi \frac{R}{2} f = -\pi R f$$

$$H(\underline{f}) = e^{-j\pi R \underline{f}} \cdot 2 \sum_{n=0}^{\frac{R-1}{2}} h_n \cdot \cos((2n - R)\pi \underline{f})$$

**ASYMETRYCZNA**  
odpowieź impulsowa

$$h_r = -h_{R-r}$$

$$\tau = \frac{R}{2}$$

$$\varphi(f) = -2\pi \frac{R}{2} f \pm \frac{\pi}{2} = -\pi R f \pm \frac{\pi}{2}$$

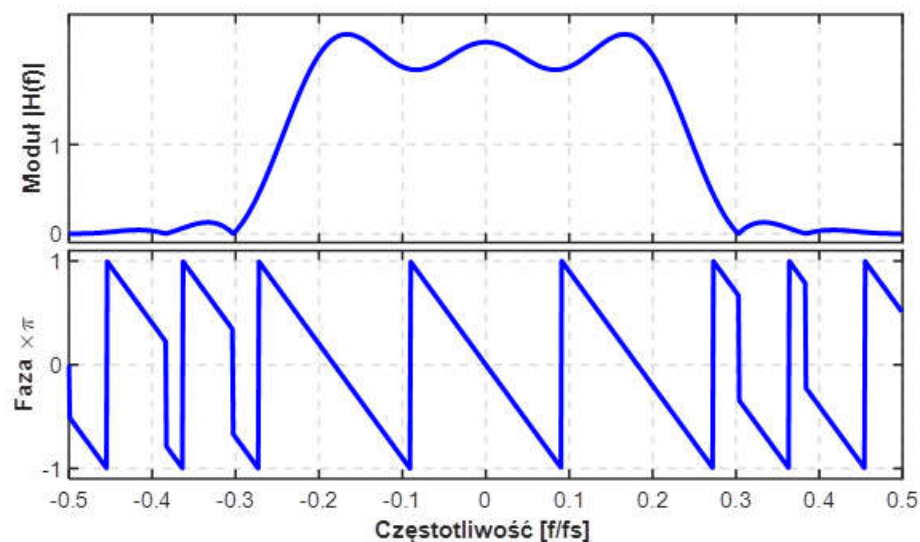
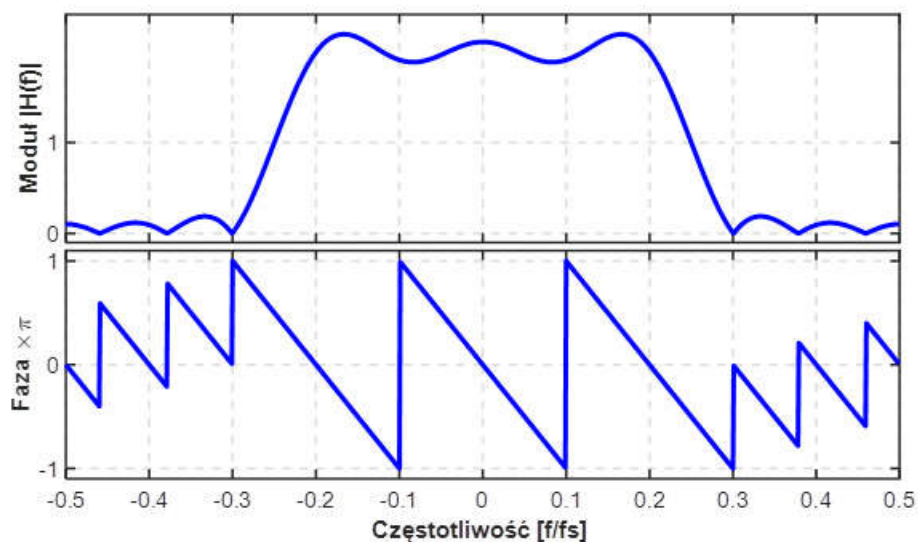
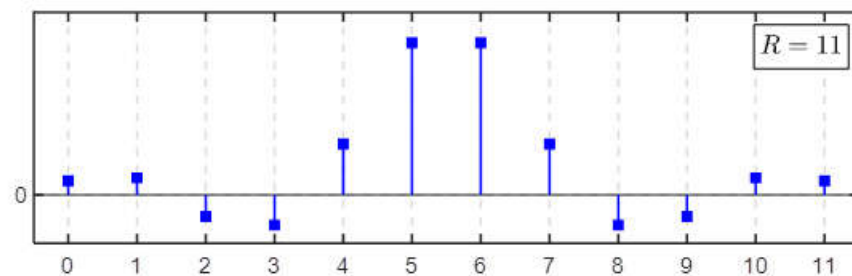
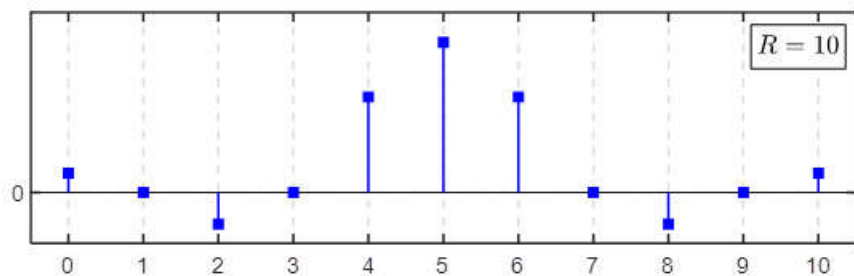
$$H(\underline{f}) = e^{-j\pi R \underline{f} \pm j\frac{\pi}{2}} \cdot j 2 \sum_{n=0}^{\frac{R-1}{2}} h_r \cdot \sin((2n - R)\pi \underline{f})$$

$$\underline{f} \in \left[0, \frac{1}{2}\right]$$

# Filtry FIR

## symetryczna odpowiedź impulsowa

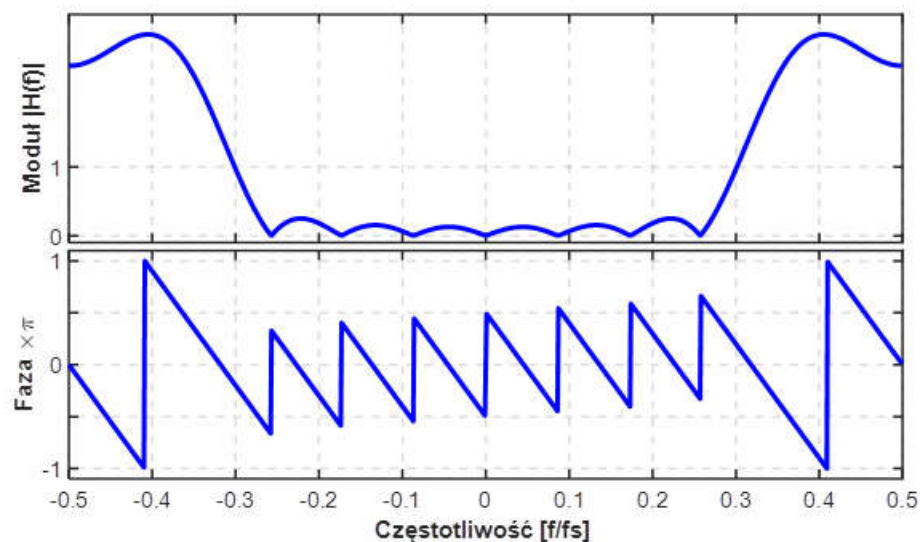
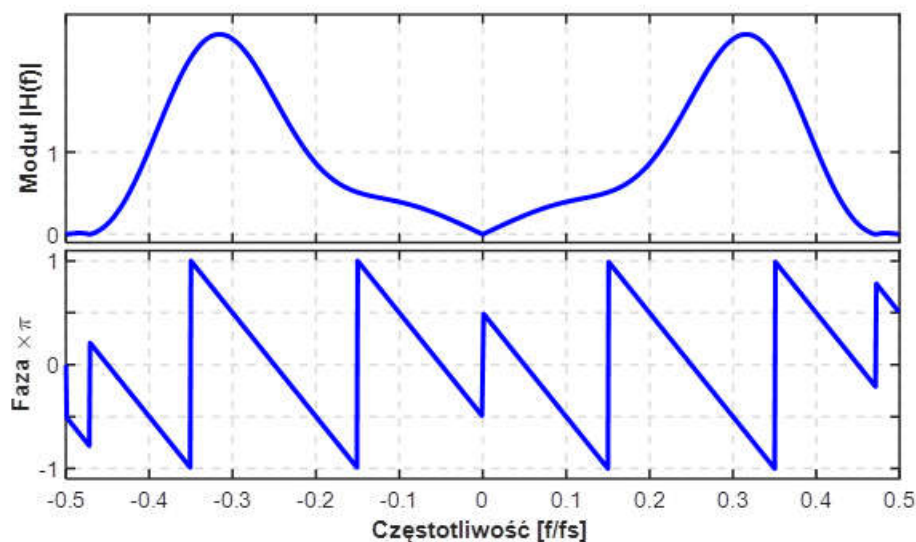
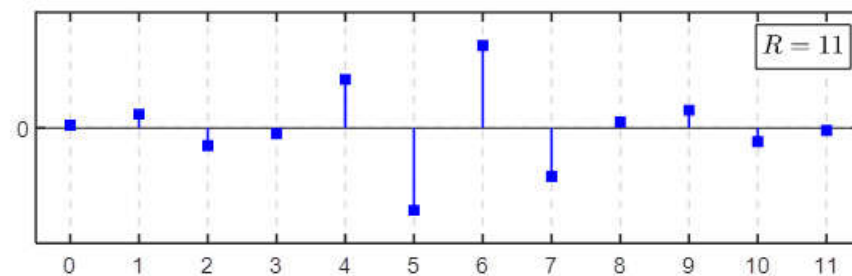
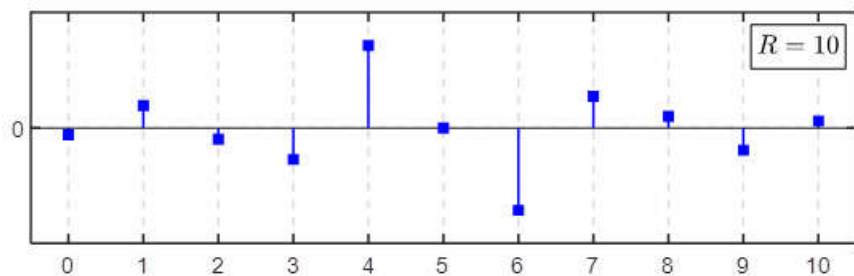
$$h_r = h_{R-r}$$



# Filtry FIR

## asymetryczna odpowiedź impulsowa

$$h_r = -h_{R-r}$$





# Co to znaczy zaprojektować filtr?

## Założenia:

dolnopasmowy, górnopasmowy, pasmowoprzepustowy, pasmowozaporowy

$f_p$ ,  $f_r$  - granice pasm

$R_p$  - dopuszczalne oscylacje w paśmie przepustowym

$R_r$  - wymagane minimalne tłumienie w paśmie zaporowym

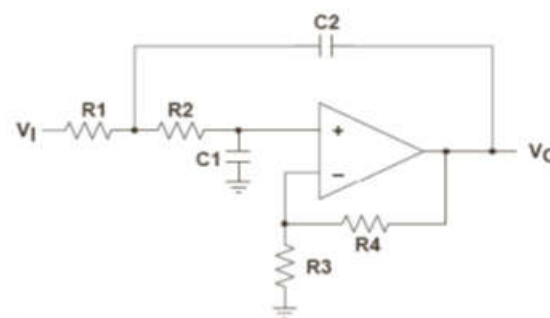
$$H(z) = \sum_{r=0}^R h_r \cdot z^{-r}$$

$$H(z) = \frac{\sum_{m=0}^M b_m \cdot z^{-m}}{\sum_{k=0}^N a_k \cdot z^{-k}}$$

## Realizacja:

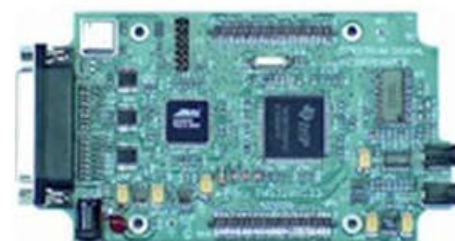
### filtr analogowy (układ elektroniczny):

- pasywny RLC
- aktywny

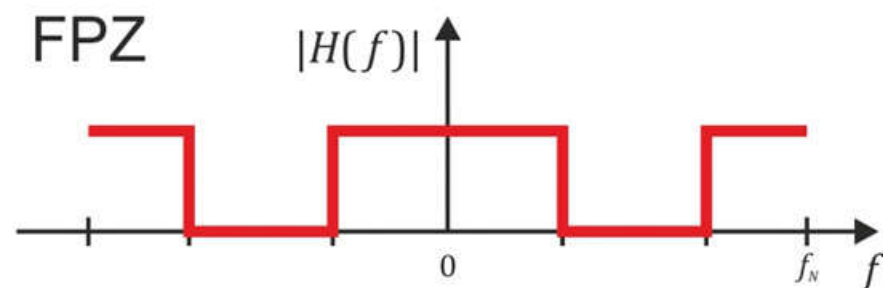
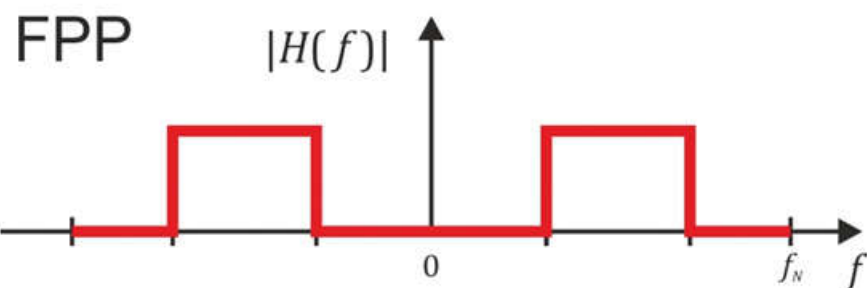
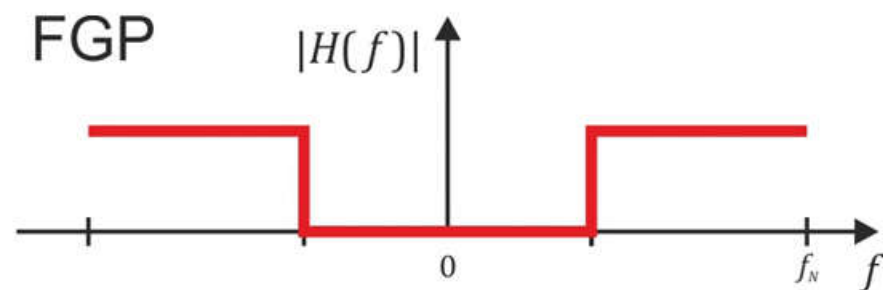
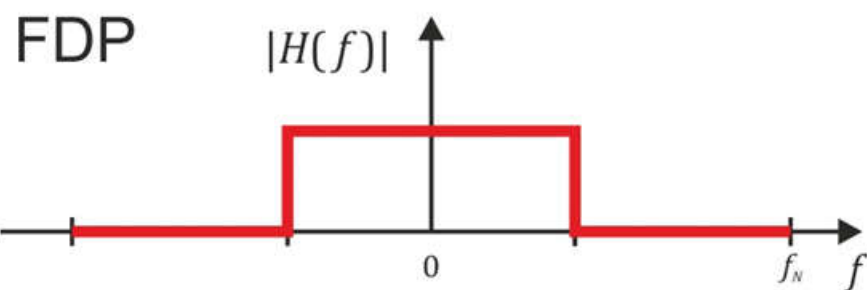


### filtr cyfrowy:

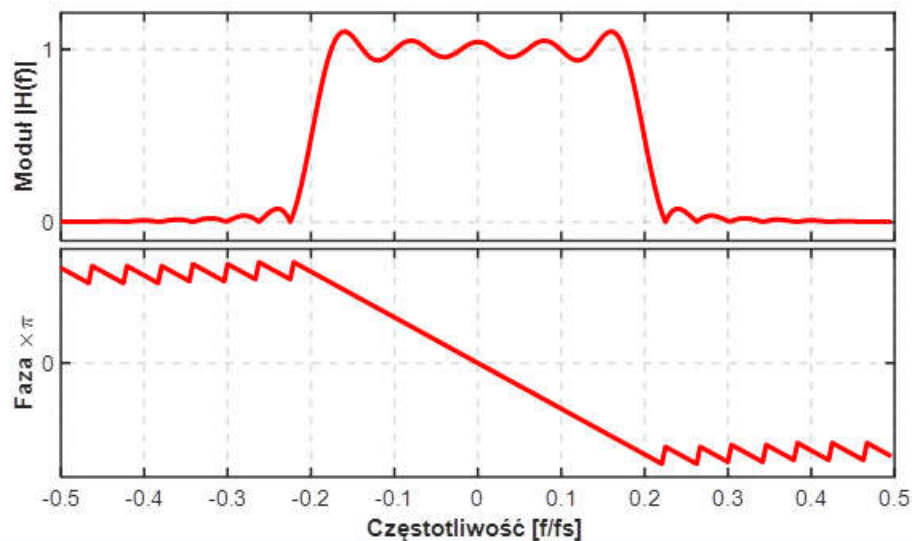
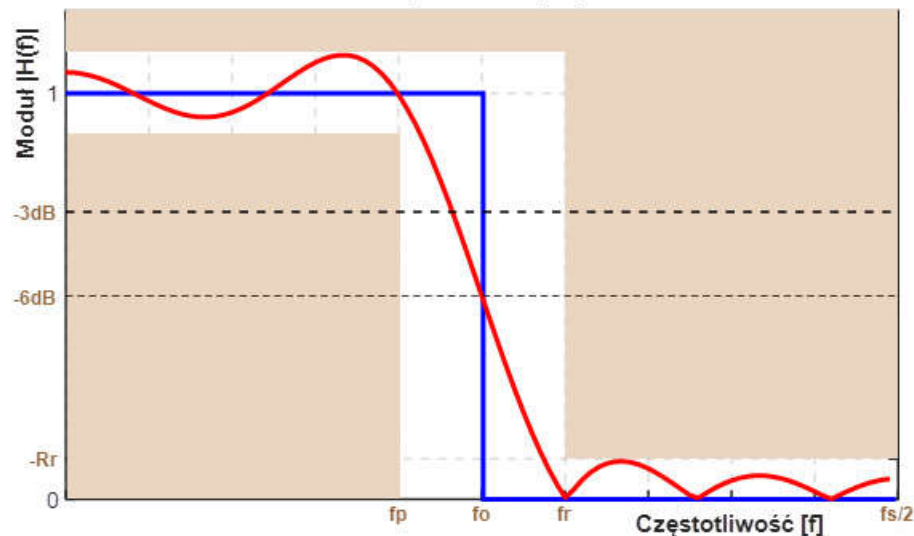
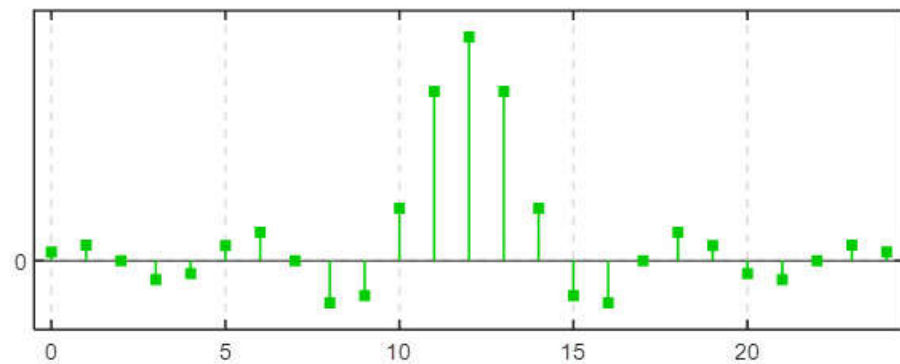
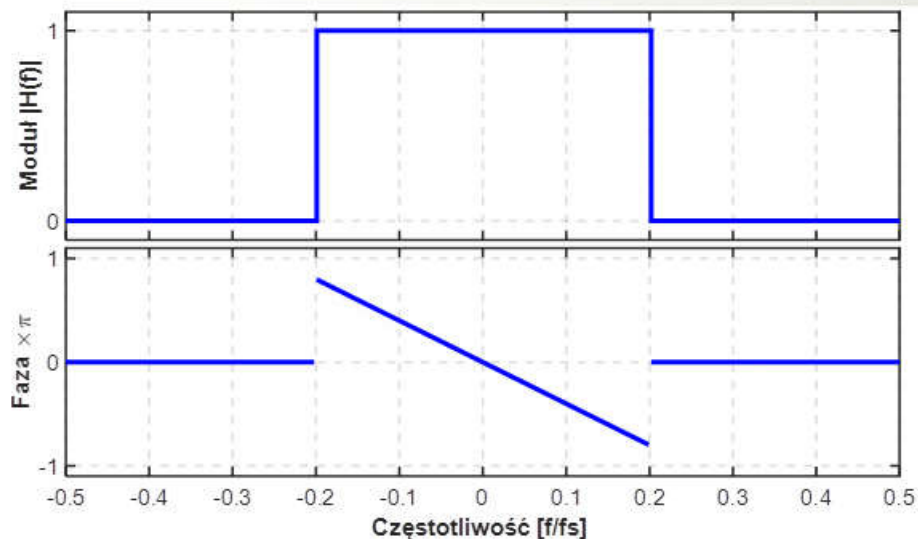
- Przetwarzanie sygnałów cyfrowych (teoria)
- Mikroprocesory sygnałowe, układy FPGA
- Informatyka (PC i C++)



$$Y(f) = |H(f)| \cdot |X(f)| \cdot e^{j\{\varphi_H(f) + \varphi_X(f)\}}$$



# Filtr idealny a rzeczywisty (dolnopasmowy)

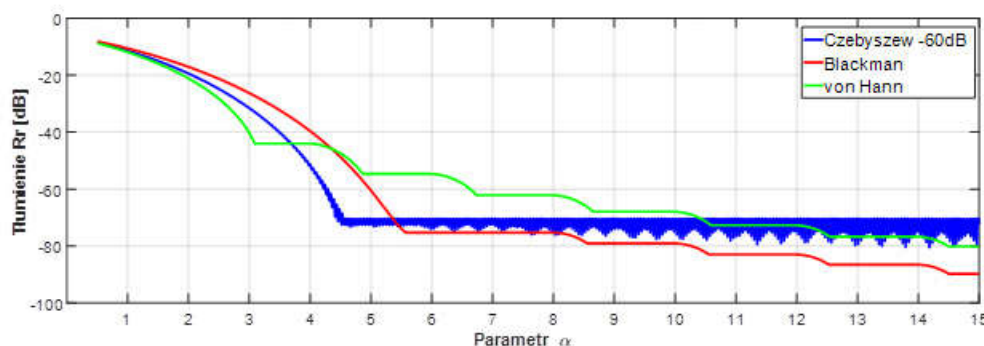


# Projektowanie FIR

## Metoda okien czasowych - algorytm

1. Założenia (typ, parametry:  $f_p$ ,  $f_r$ ,  $R_r$ ,  $f_s$ ?)
2.  $R_r \rightarrow$  okno (tłumienie listków bocznych)
3. Rząd filtru  $R \geq \left\lceil \alpha \cdot \frac{f_s}{f_r - f_p} \right\rceil$ 
  - a. RTS – czas obliczeń
4. Liczba współczynników:  $K = R + 1$
5. Charakterystyka  $H(f)$  - idealna
6. Odpowiedź impulsowa  $h_a(t) = ICFT\{H(f)\}$
7. Próbkowanie:  $h_a(t) \xrightarrow{f_s} h_x[n]$
8. Okno:  $h[n] = h_x[n] \cdot okno[R + 1]$
9. TEST

Okno	$R_r$ [dB]	$\alpha$
prostokątne	-21	0.9
Bartlett'a	-26	3.3
von Hann'a	-44	3.1
Hamming'a	-53	3.3
Blackman'a	-75	5.6
Parzen'a	-56	7.0
flattop	-115	9.7
Chebyszew, -60dB	-70	4.6



# Projektowanie FIR

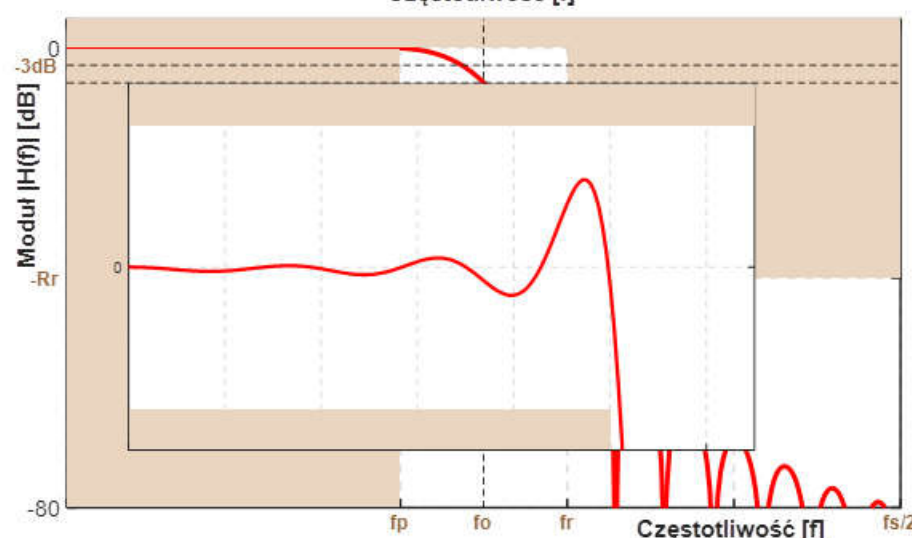
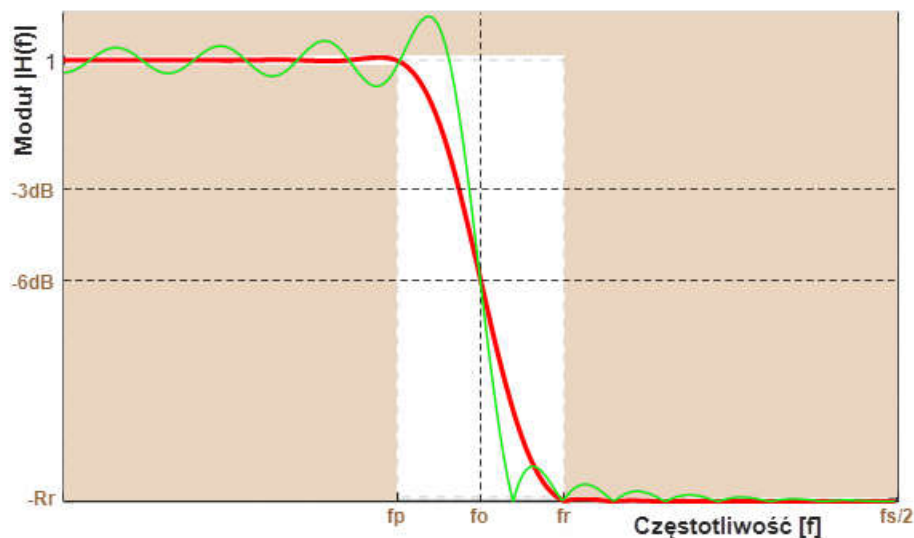
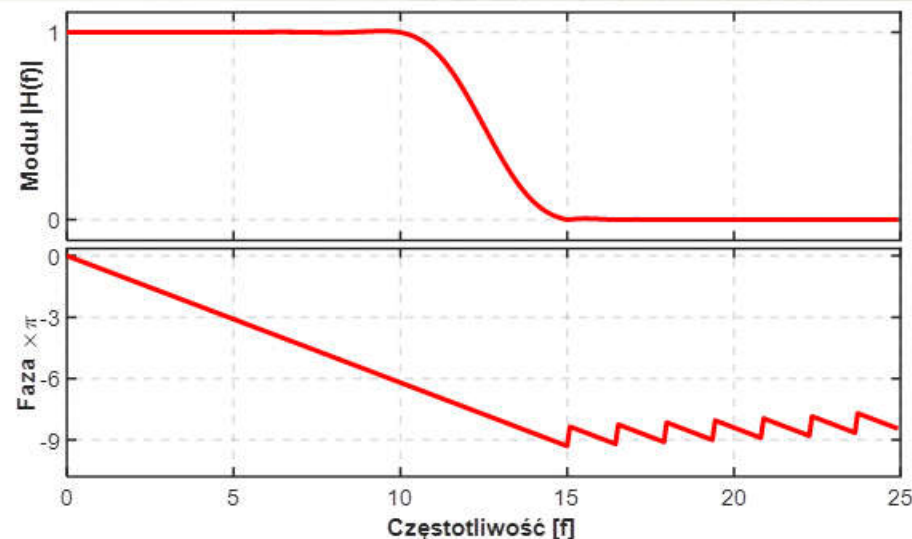
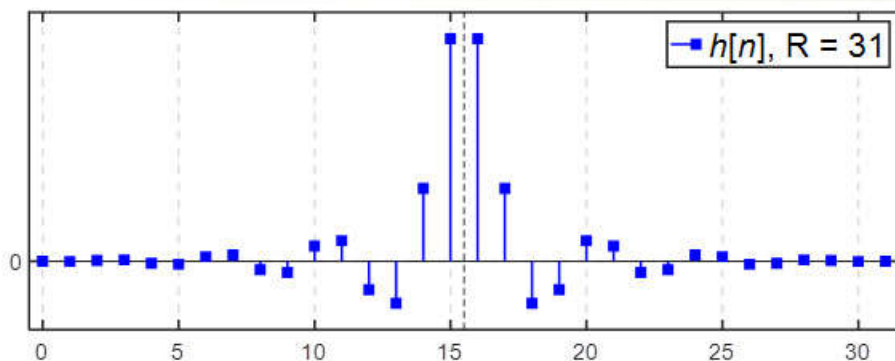
## Metoda okien czasowych - przykład

1. **Założenia:** FDP,  $f_p = 10$ ,  $f_r = 15$ ,  $R_r = 40$ ,  $f_s = 50 \Rightarrow f_0 = 12.5$
2.  $R_r = 40 \rightarrow$  **okno von Hann'a (-44dB)**
3. **Rząd filtru**  $R \geq \left\lceil 3.1 \cdot \frac{50}{15-10} \right\rceil \Rightarrow R = 31$
4. **Liczba współczynników:**  $K = R + 1 = 32$
5. **Charakterystyka**  $H(f) = \Pi \left( \frac{f}{2 \frac{f_0}{f_s}} \right) \cdot e^{-j2\pi f \cdot \frac{R}{2}}$
6. **Odpowiedź impulsowa**  $h_a(t) = 2 \frac{f_0}{f_s} \cdot \text{sinc} \left( 2 \frac{f_0}{f_s} \pi \left( t - \frac{R}{2} \right) \right)$
7. **Próbkowanie:**  $h_x[n] = 2 \underline{f_0} \cdot \text{sinc} \left( 2 \underline{f_0} \pi \left( n - \frac{R}{2} \right) \right)$  gdzie  $n = 0:R$  oraz  $\underline{f_0} = \frac{f_0}{f_s}$
8. **Okno:**  $h[n] = h_x[n] \cdot \text{okno}[R + 1]$
9. **TEST**



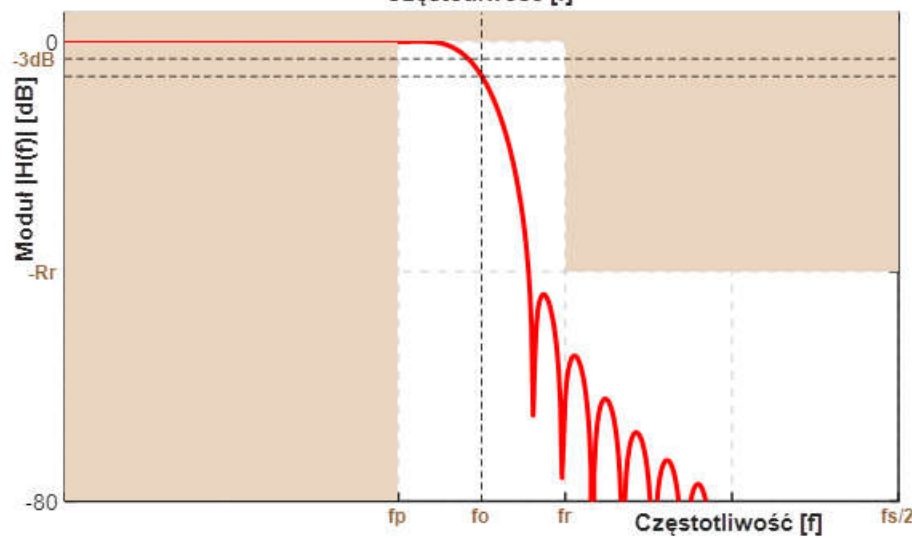
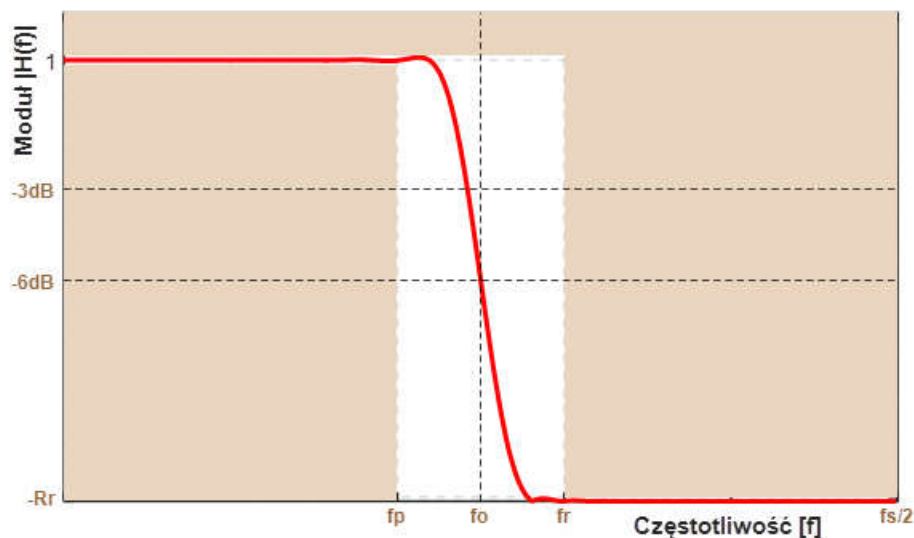
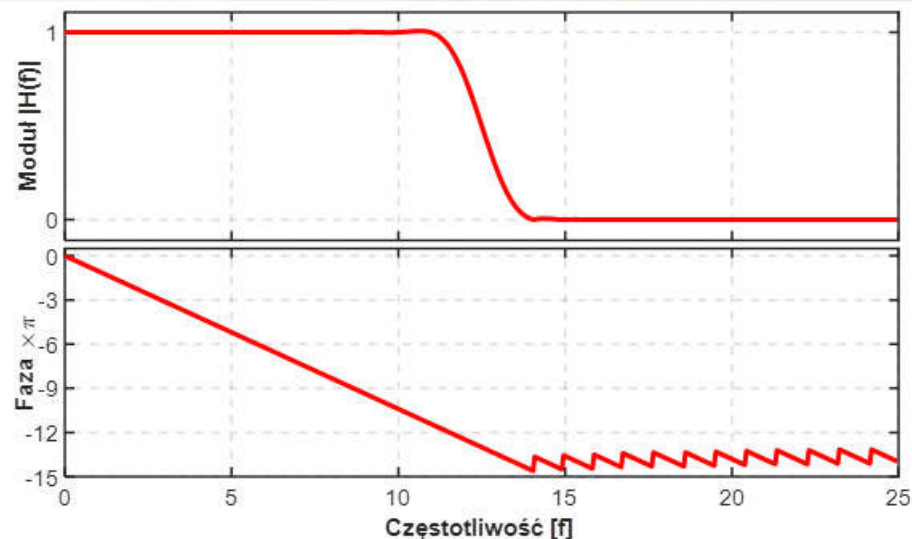
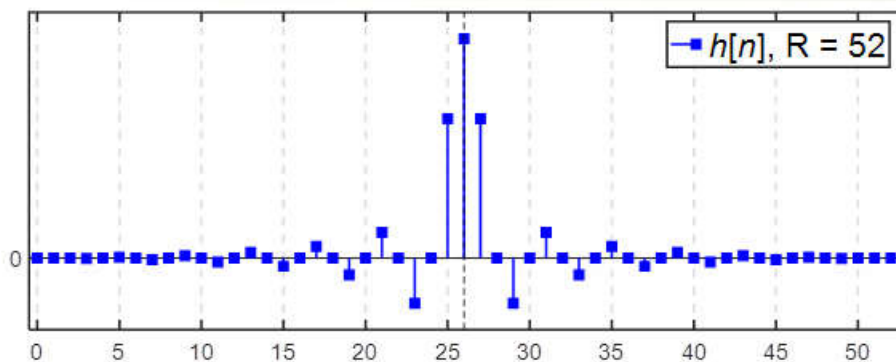
# Projektowanie FIR

## Metoda okien czasowych – TEST (1)



# Projektowanie FIR

## Metoda okien czasowych – TEST (2)



# Projektowanie FIR

## Metoda okien czasowych z DFT - algorytm

1. Założenia: (typ, parametry:  $f_p$ ,  $f_r$ ,  $R_r$ ,  $f_s$ ?)
2.  $R_r$ -> okno (tłumienie listków bocznych)
3. Rząd filtru  $R \geq \left\lceil \alpha \cdot \frac{f_s}{f_r - f_p} \right\rceil$ 
  - a. RTS – czas obliczeń
4. Liczba współczynników:  $K = R + 1$
5. Liczba prążków:  $M \geq 2 \cdot K$  (IFFT?)
6. Charakterystyka  $H_M[m]$  – idealna, faza?
7. Odpowiedź impulsowa  $h_x[m] = IDFT\{H_M[m]\}$ , fftshift?
8. Okno:  $h[n] = h_x[n] \cdot okno[R + 1]$  – korelacja!
9. TEST

# Projektowanie FIR

## Metoda okien czasowych z DFT - przykład

1. Założenia : FDP,  $f_p = 10$ ,  $f_r = 15$ ,  $R_r = 40$ ,  $f_s = 50 \Rightarrow f_0 = 12.5$
2.  $R_r = 40 \rightarrow$  okno von Hann'a (-44dB)
3. Rząd filtru  $R \geq \left\lceil 3.1 \cdot \frac{50}{15-10} \right\rceil \Rightarrow R = 31$
4. Liczba współczynników:  $K = R + 1 = 32$
5. Liczba prążków:  $M = 64 \geq 2 \cdot K$  (IFFT)
6. Charakterystyka  $H_M[m] = [\textcolor{red}{1} \textcolor{blue}{1} \textcolor{blue}{1} \textcolor{green}{0} \textcolor{green}{0} \textcolor{green}{0} \textcolor{red}{0} \textcolor{green}{0} \textcolor{green}{0} \textcolor{green}{0} \textcolor{blue}{1} \textcolor{blue}{1}]$
7. Odpowiedź impulsowa  $h_x[m] = \text{IDFT}\{H_M[m]\}$ , skoro  $\varphi = 0$  to **fftshift !**
8. Okno:  $h[n] = h_x[n] \cdot \text{okno}[R + 1]$  – korelacja!
9. TEST

# Projektowanie FIR

## Metoda okien czasowych z DFT – przykład - faza

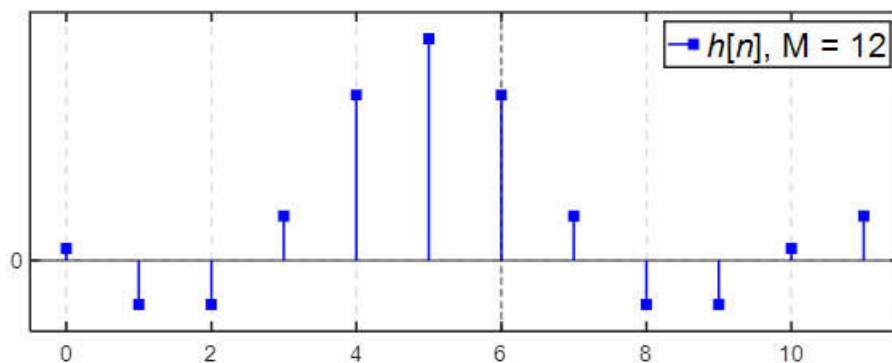
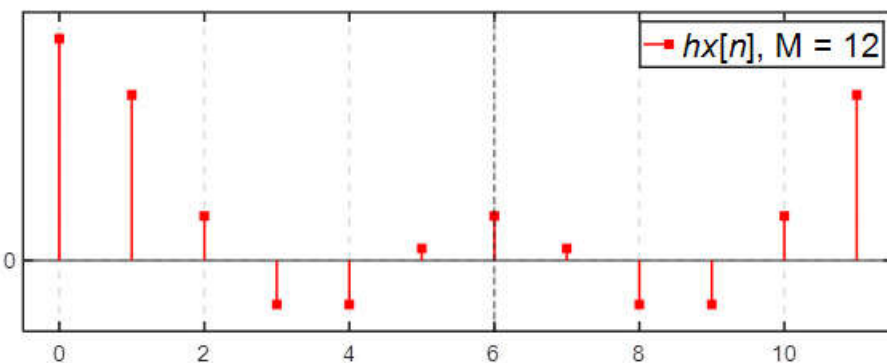
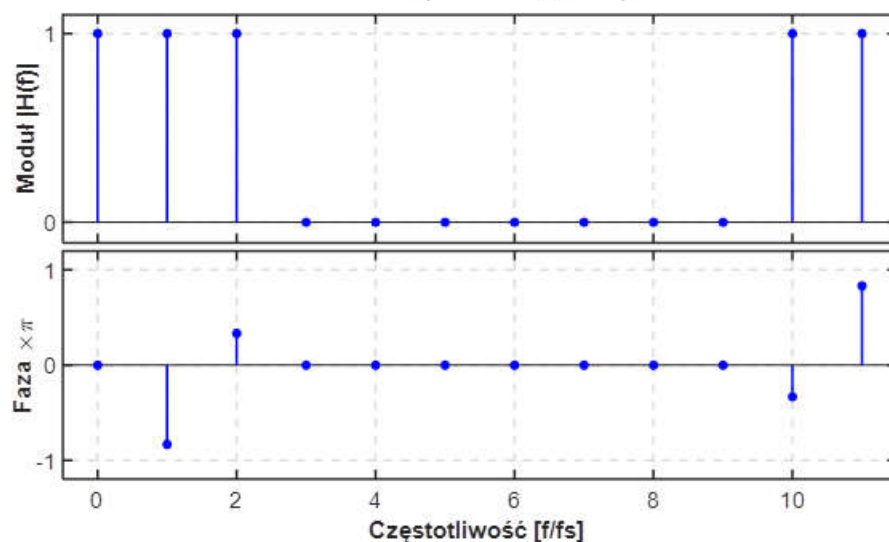
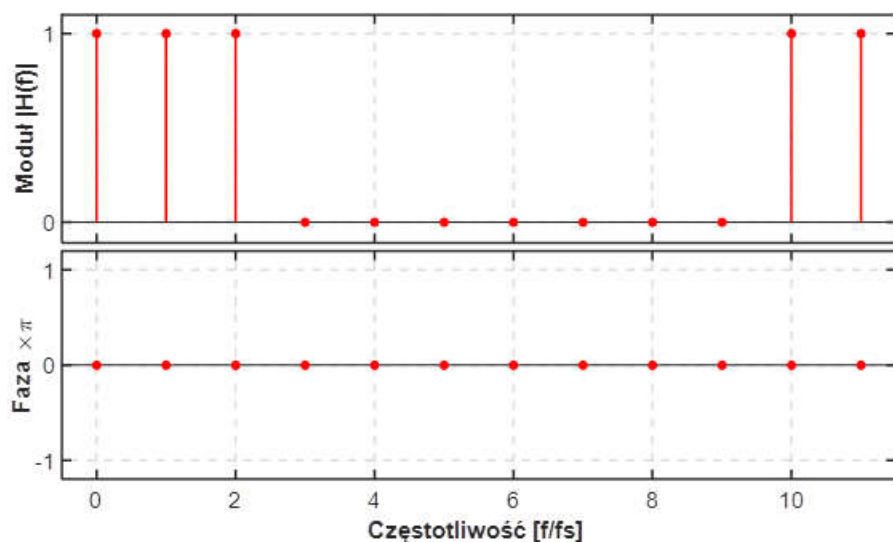
$$H_M[m] = [1 \quad 1 \quad 1 \quad 0 \quad 0 \quad 0 \quad 0 \quad 0 \quad 0 \quad 1 \quad 1]$$

$$M: m = 0 \dots M - 1$$

$$M = 12 \rightarrow L = \frac{M - 2}{2} = 5$$

$H_x[m] = H_M[m]$  a potem **fftshift**

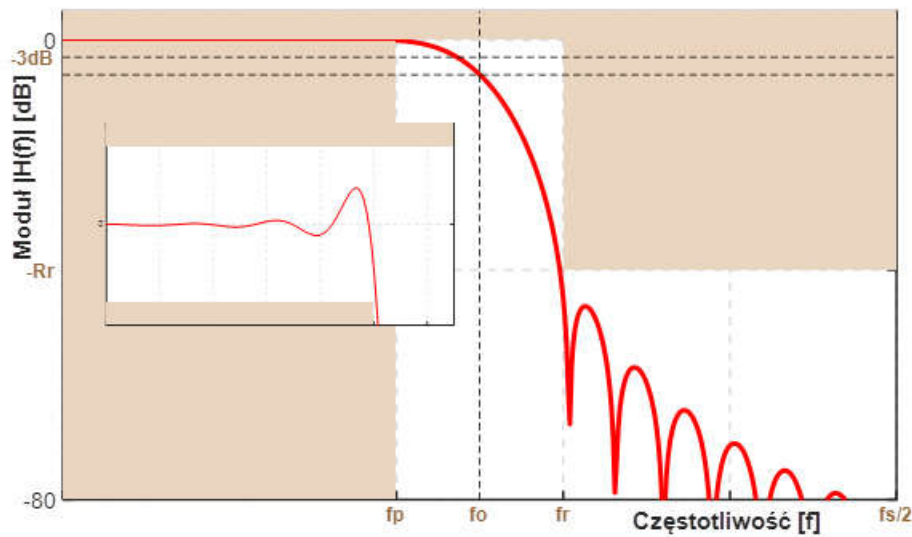
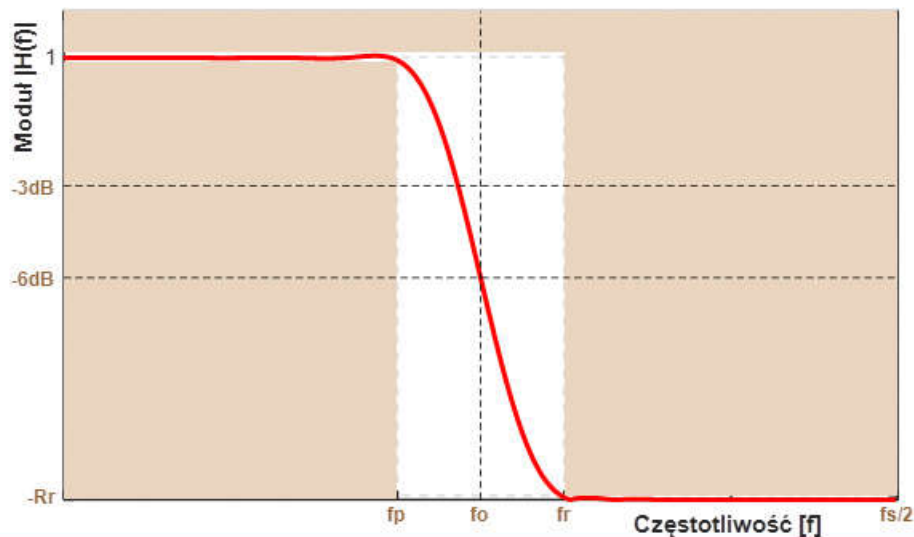
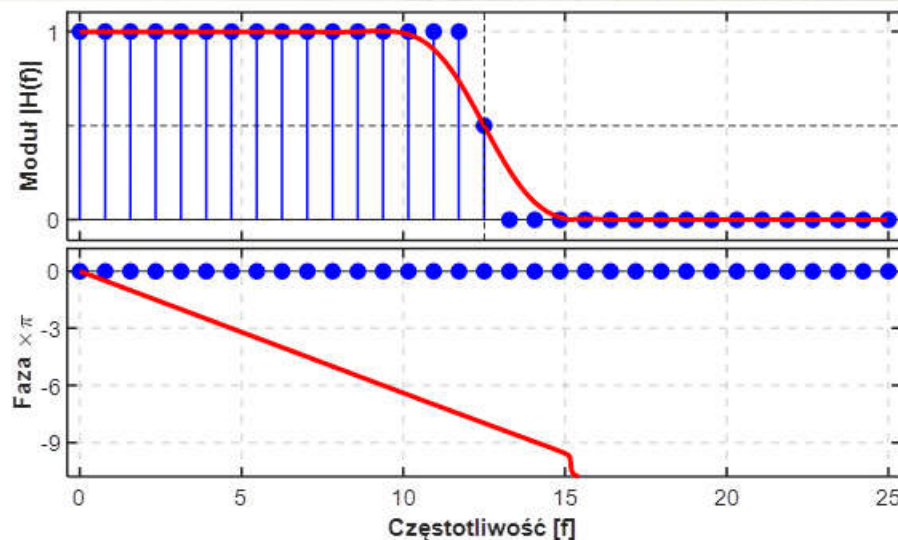
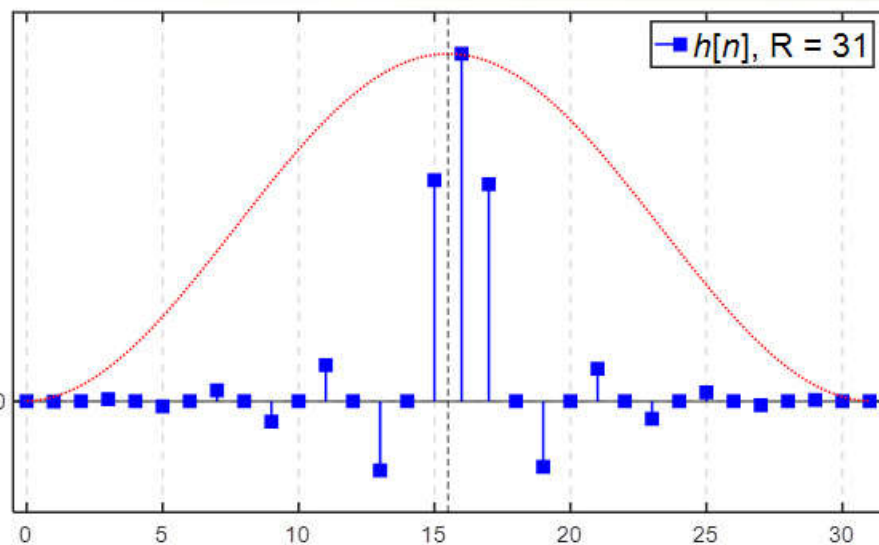
$$H_x[m] = H_M[m] \cdot \exp \left\{ -j2\pi \cdot \frac{m}{M} \cdot L \right\}$$





# Projektowanie FIR

## Metoda okien czasowych z DFT – TEST ?



# Projektowanie FIR

## przy pomocy szeregu Fourier'a - algorytm

**1. Założenia: punkty charakterystyki częstotliwościowej**

**2. Założenie:**  $H(f) = \sum_{k=-\infty}^{+\infty} h_k \cdot e^{-j2\pi f k}$  **gdzie**  $f \in \left[0, \frac{1}{2}\right]$

**a. warunki:**  $|H(f)| = |H(-f)|$  **oraz**  $\varphi(f) = -\varphi(-f)$

**b. przyczynowość:**  $h[0] \dots h[R]$

**3. Wyznaczenie  $h[n]$ :**  $H(f) = \sum_{r=0}^R h_r \cdot e^{-j2\pi f r}$

**4. TEST**

# Projektowanie FIR

## przy pomocy szeregu Fourier'a - przykład

Założenia:  $H(0) = 1$ ,  $H\left(\frac{1}{4}\right) = -1$ ,  $H\left(\frac{1}{2}\right) = \frac{1}{2}$ , liniowa faza

**Warunki:**  $|H(f)| = |H(-f)|$  oraz  $\varphi(f) = -\varphi(-f)$  a także  $f \in \left[0, \frac{1}{2}\right]$

$R = 4 \Rightarrow r = 0 \dots 4$  zatem  $h[n] = [h_0, h_1, h_2, h_3, h_4]$  oraz  $h_0 = h_4$  i  $h_1 = h_3$

**Wyznaczenie:**  $h[n]$ :  $H(f) = \sum_{r=0}^R h_r \cdot e^{-j2\pi fr}$

$$f = 0 \Rightarrow H(0) = h_0 e^0 + h_1 e^0 + h_2 e^0 + h_3 e^0 + h_4 e^0 = 2h_0 + 2h_1 + h_2 = 1$$

$$f = 1/4 \Rightarrow H(1/4) = h_0 e^0 + h_1 e^{-j\frac{\pi}{2}} + h_2 e^{-j\pi} + h_3 e^{-j\frac{3}{2}\pi} + h_4 e^{-j2\pi} = 2h_0 - h_2 = -1$$

$$f = 1/2 \Rightarrow H(1/2) = h_0 e^0 + h_1 e^{-j\pi} + h_2 e^{-j2\pi} + h_3 e^{j3\pi} + h_4 e^{-j4\pi} = 2h_0 - 2h_1 - h_2 = 1/2$$

$$\begin{bmatrix} 2 & 2 & 2 \\ 2 & 0 & -1 \\ 2 & -2 & 1 \end{bmatrix} \cdot \begin{bmatrix} h_0 \\ h_1 \\ h_2 \end{bmatrix} = \begin{bmatrix} 1 \\ -1 \\ 1/2 \end{bmatrix} \Rightarrow \begin{bmatrix} h_0 \\ h_1 \\ h_2 \end{bmatrix} = \begin{bmatrix} -1/16 \\ 1/8 \\ 7/8 \end{bmatrix} \Rightarrow h[n] = \left[ -\frac{1}{16} \quad \frac{1}{8} \quad \frac{7}{8} \quad \frac{1}{8} \quad -\frac{1}{16} \right]$$

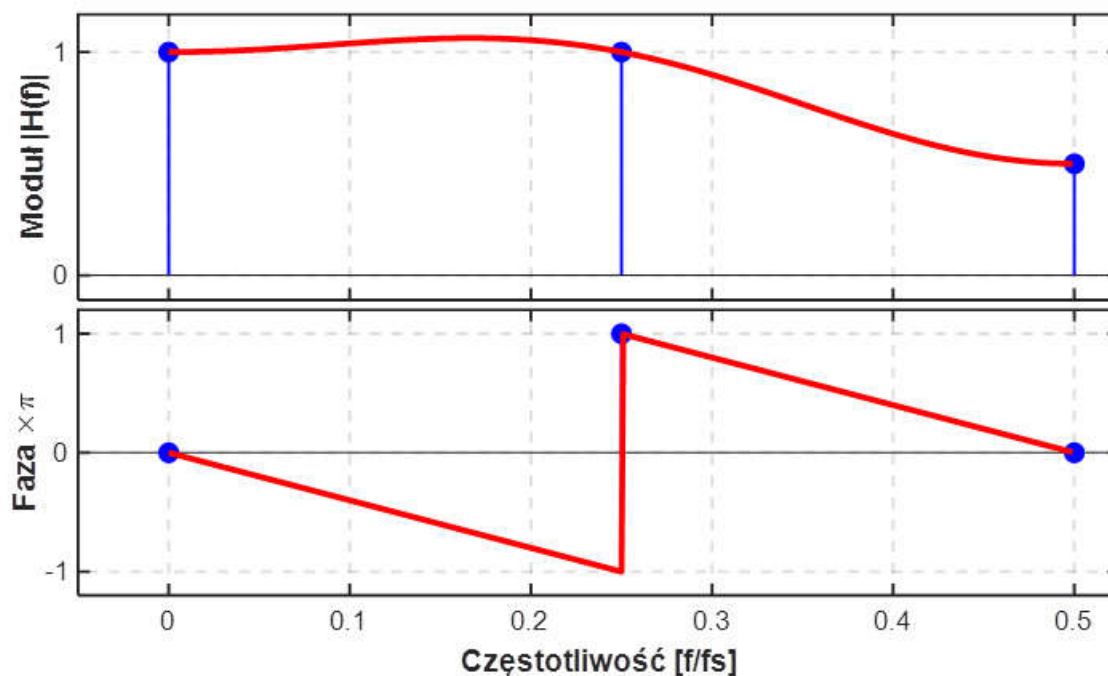
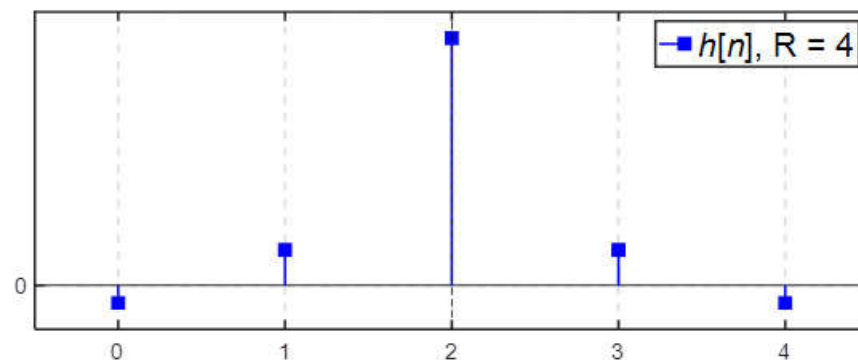
# Projektowanie FIR przy pomocy szeregu Fourier'a - TEST

Założenia:

$$H(0) = 1, H\left(\frac{1}{4}\right) = -1, H\left(\frac{1}{2}\right) = \frac{1}{2}$$

$R = 4$ , liniowa faza

$$h[n] = \left[ -\frac{1}{16} \quad \frac{1}{8} \quad \frac{7}{8} \quad \frac{1}{8} \quad -\frac{1}{16} \right]$$

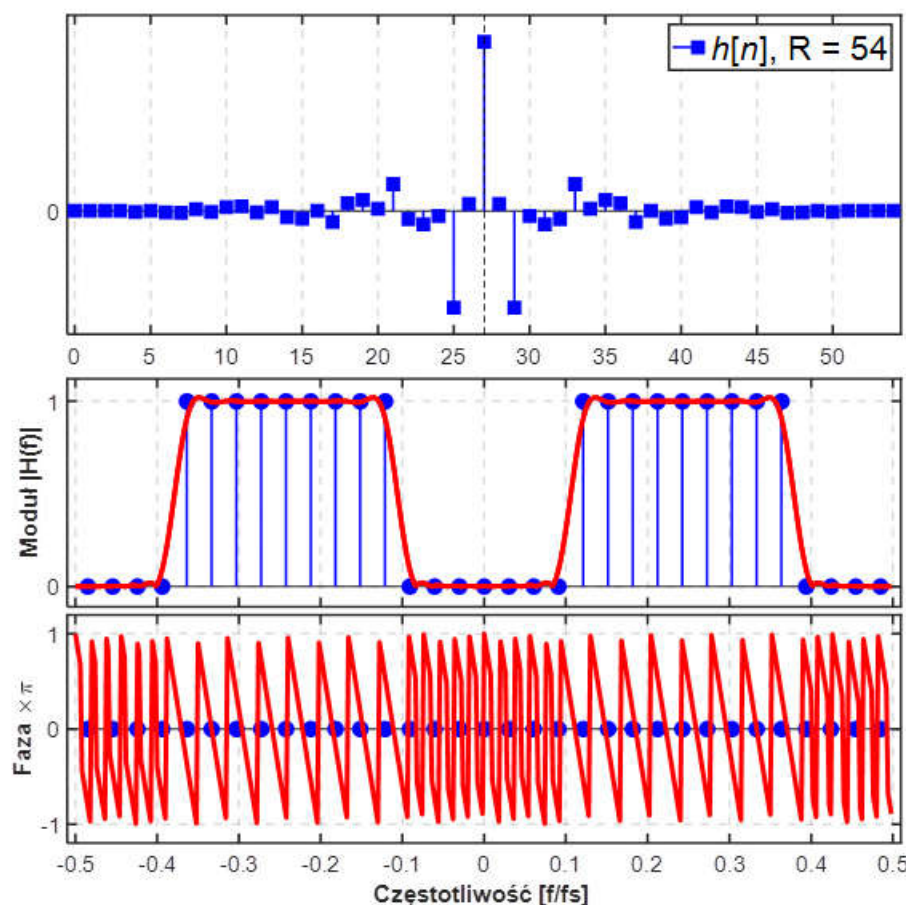
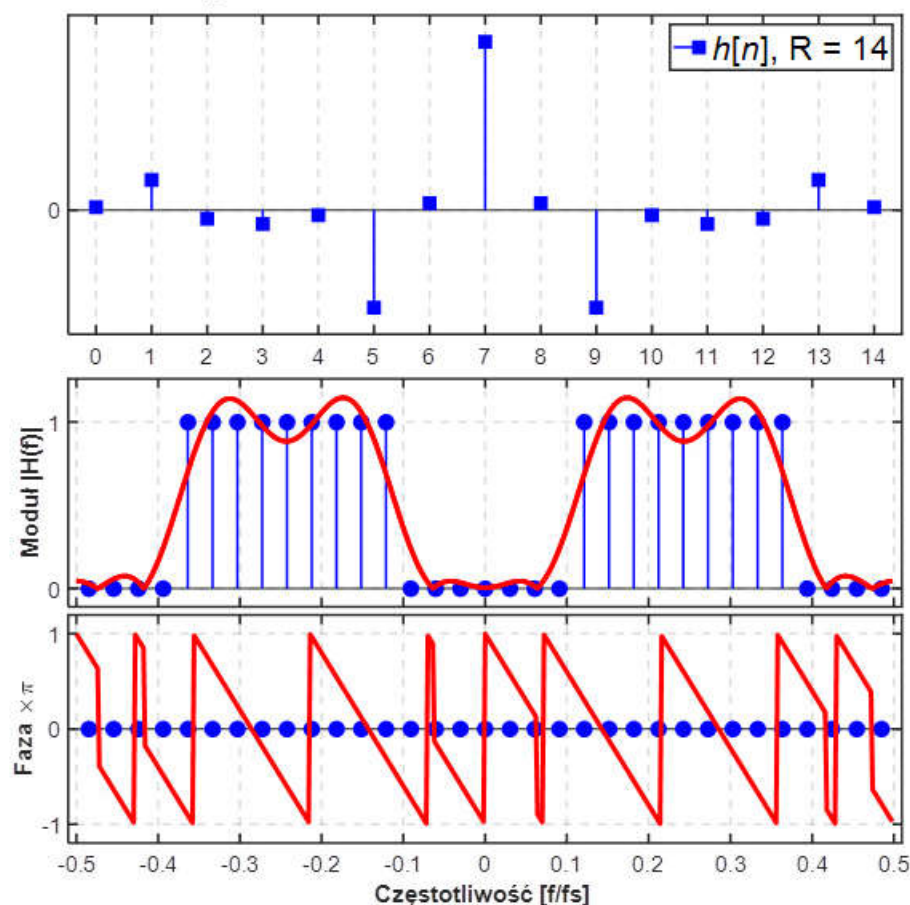




# Projektowanie FIR przy pomocy szeregu Fourier'a – TEST (2)

$$h[n] = \sum_k \frac{|H[k]|}{K} \cdot \cos\left(2\pi \cdot f_k \cdot \left(r - \frac{R}{2}\right) + \angle H[k]\right) \quad r = 0 \dots R$$

z oknem von Hann'a





# Projektowanie FIR

## metody aproksymacyjne (LS, Parks-McClellan, tw. Remez)

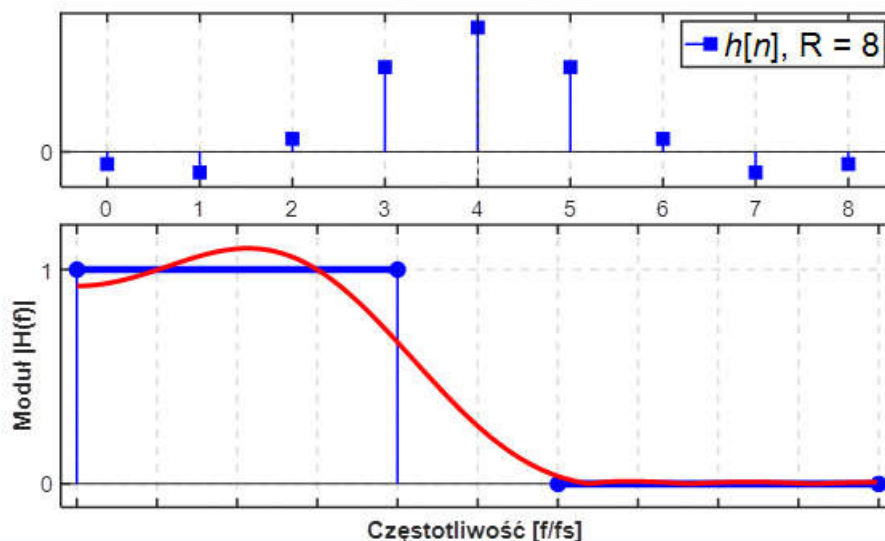
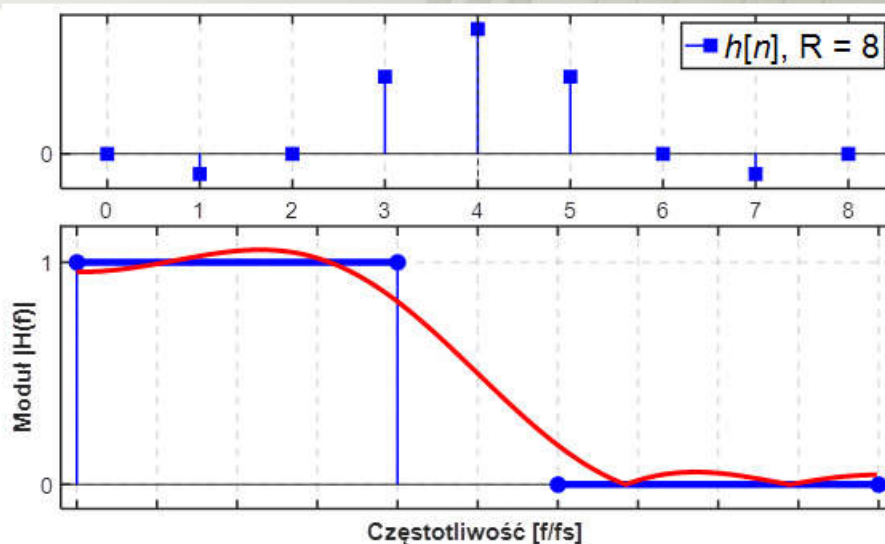
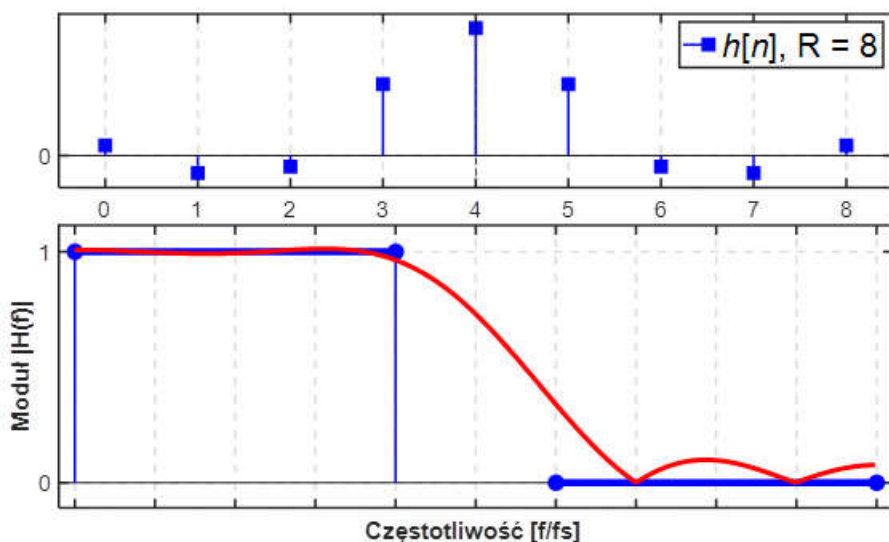
$$L^2(0, 1/2) \quad \min Q_h \quad w(f) \geq 0$$

$$Q_h = \int_0^{1/2} w(f) \cdot |H^{zad}(f) - H(f)|^2 df$$

MATLAB ( $f \in [0,1]$ ):

`h = firls(R,F,H,w)`

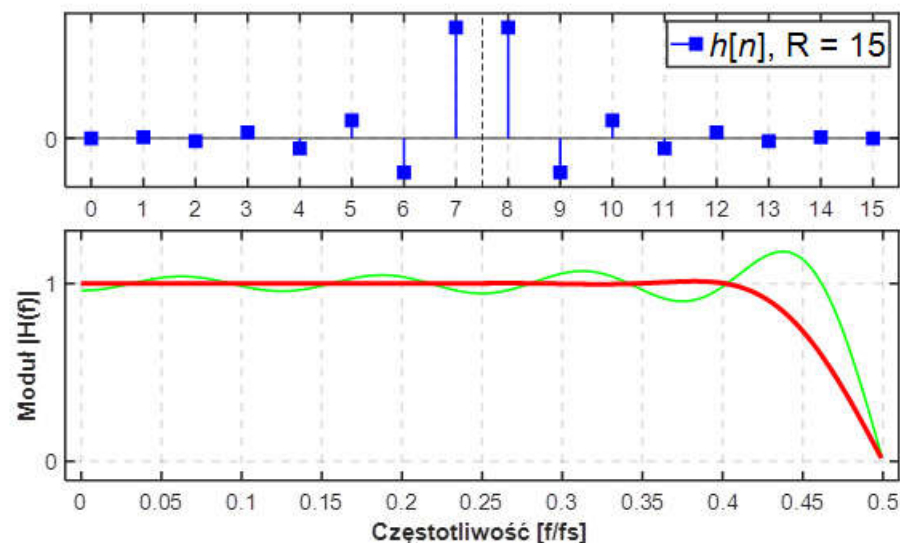
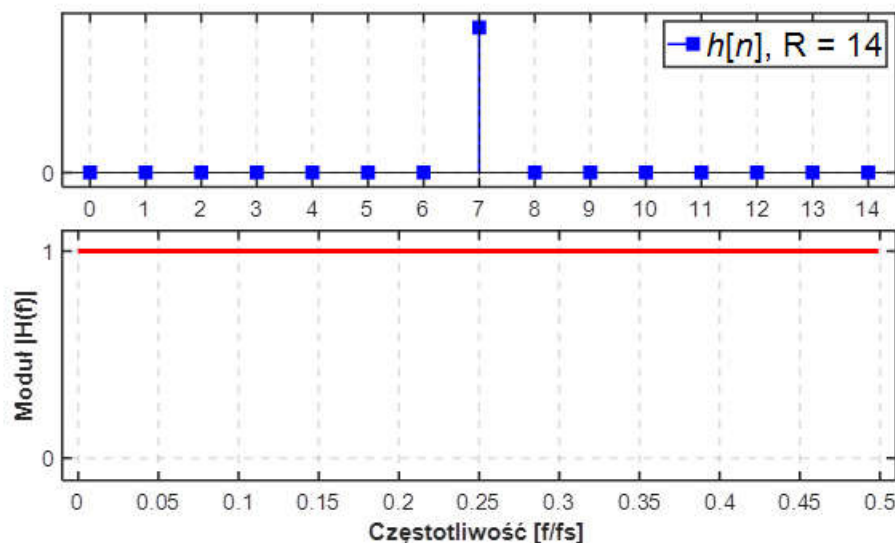
`h = firpm(R,F,H,w)`



# Przekształcanie filtrów FIR

## filtr wszechprzepustowy („linia opóźniająca”)

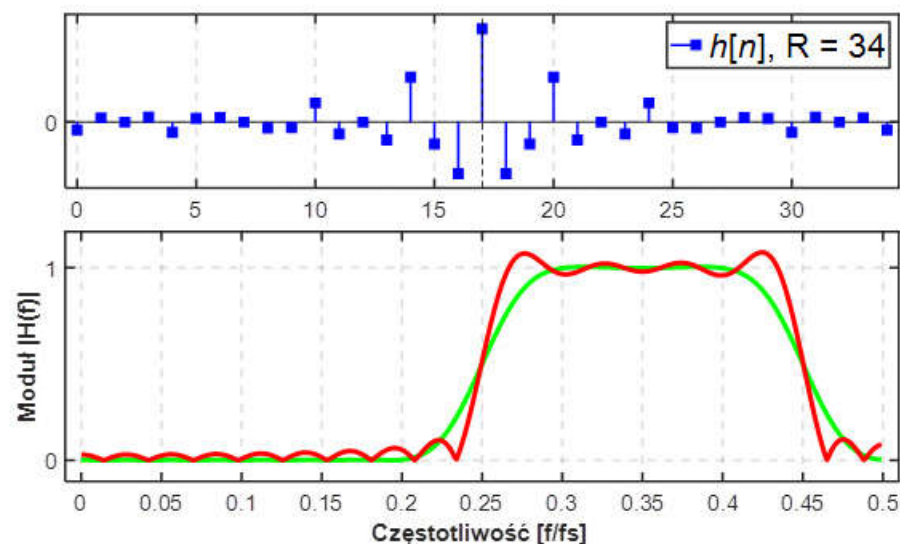
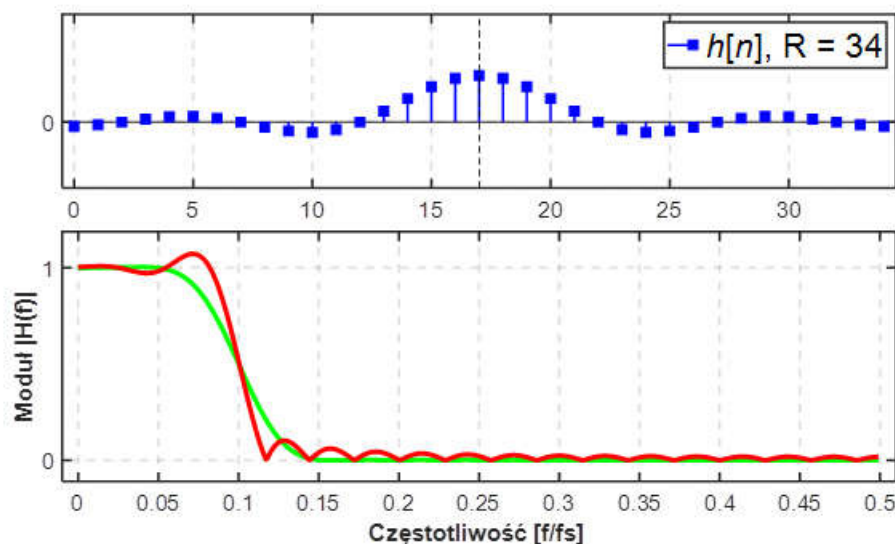
1. Założenia: FDP,  $f_0 = \frac{f_s}{2}$
2. Charakterystyka  $H(f) = \prod(f) \cdot e^{-j2\pi f \cdot \frac{R}{2}}$
3. Odpowiedź impulsowa  $h_a(t) = \text{sinc}\left(\pi\left(t - \frac{R}{2}\right)\right)$
4. Próbkowanie:  $h[n] = \text{sinc}\left(\pi\left(n - \frac{R}{2}\right)\right)$  gdzie  $n = 0:R$



# Przekształcanie filtrów FIR

## FDP -> FPP

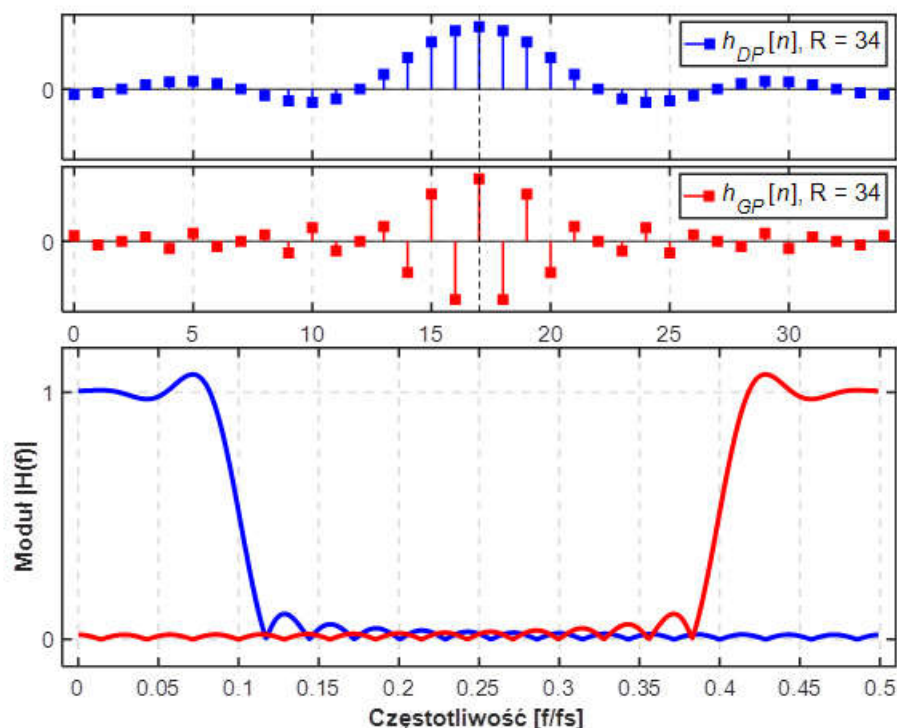
1. Założenia: FDP,  $f_x$  - częstotliwość środkowa (środek pasma)
2. Modulacja:  $s(t) \leftrightarrow S(f) \Leftrightarrow s(t) \cdot \cos(2\pi f_x t) \leftrightarrow \frac{1}{2}\{S(f + f_x) + S(f - f_x)\}$
3. 
$$h_x[n] = h_{DP}[n] \cdot 2 \cdot \cos\left(2\pi \frac{f_x}{f_s} \left(n - \frac{R}{2}\right)\right)$$



### Modulacja:

$$h_{GP}[n] = h_{DP}[n] \cdot \cos\left(\pi\left(n - \frac{R}{2}\right)\right)$$

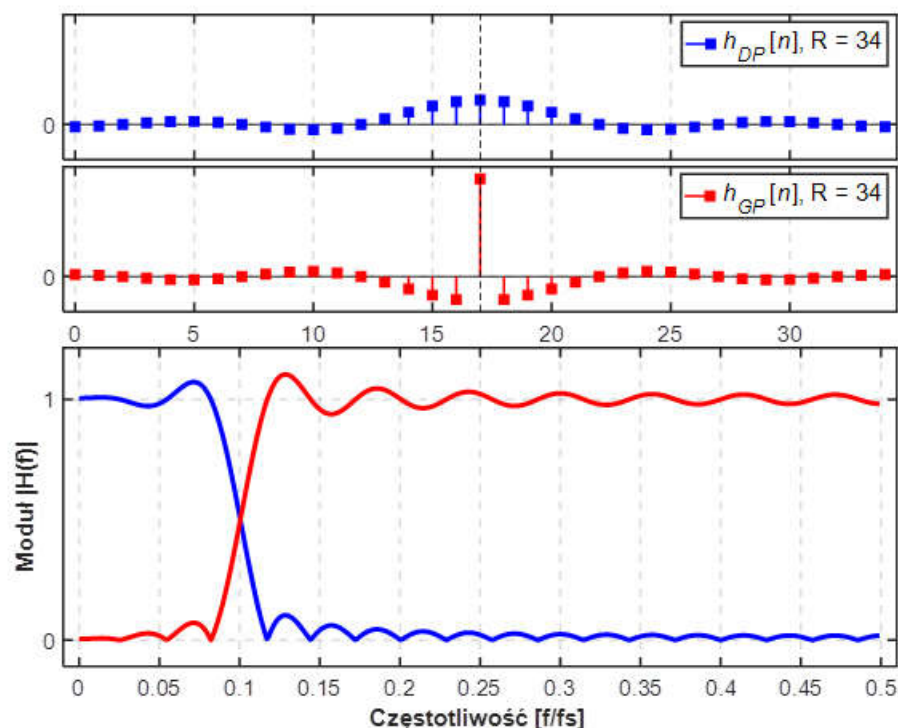
$$f_x = f_s/2$$



### Liniowość DFT:

$$H_{GP}(f) = \mathbf{1} - H_{DP}(f)$$

$$h_{GP}[n] = \text{sinc}\left(\pi\left(n - \frac{R}{2}\right)\right) - h_{DP}[n]$$

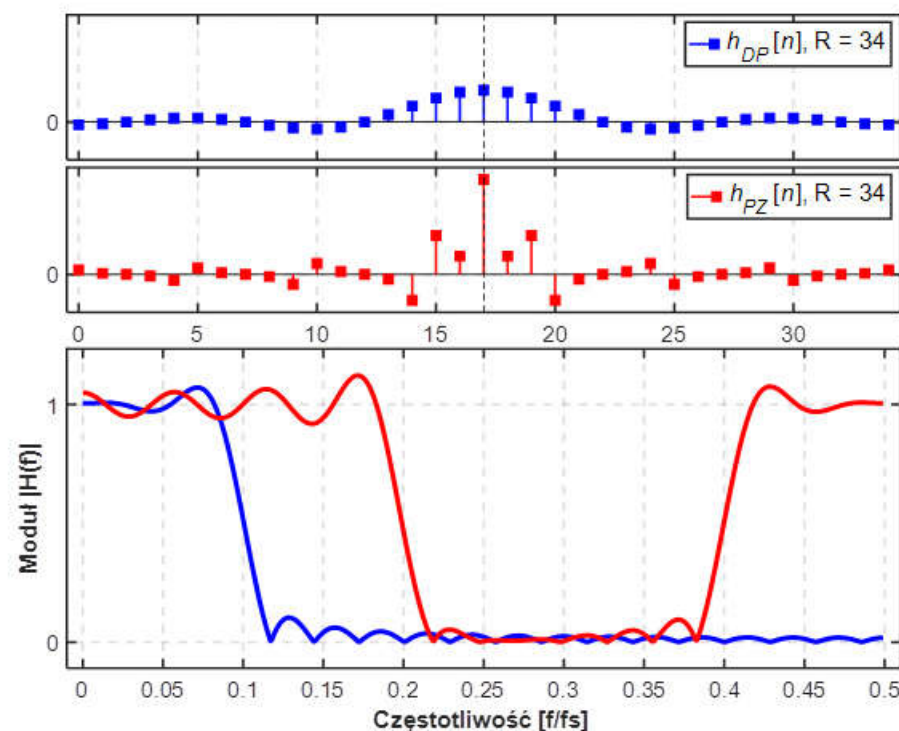




### Modulacja i liniowość DFT:

$$h_{PP}[n] = h_{DP}[n] \cdot \cos\left(2\pi \frac{f_x}{f_s} \left(n - \frac{R}{2}\right)\right)$$

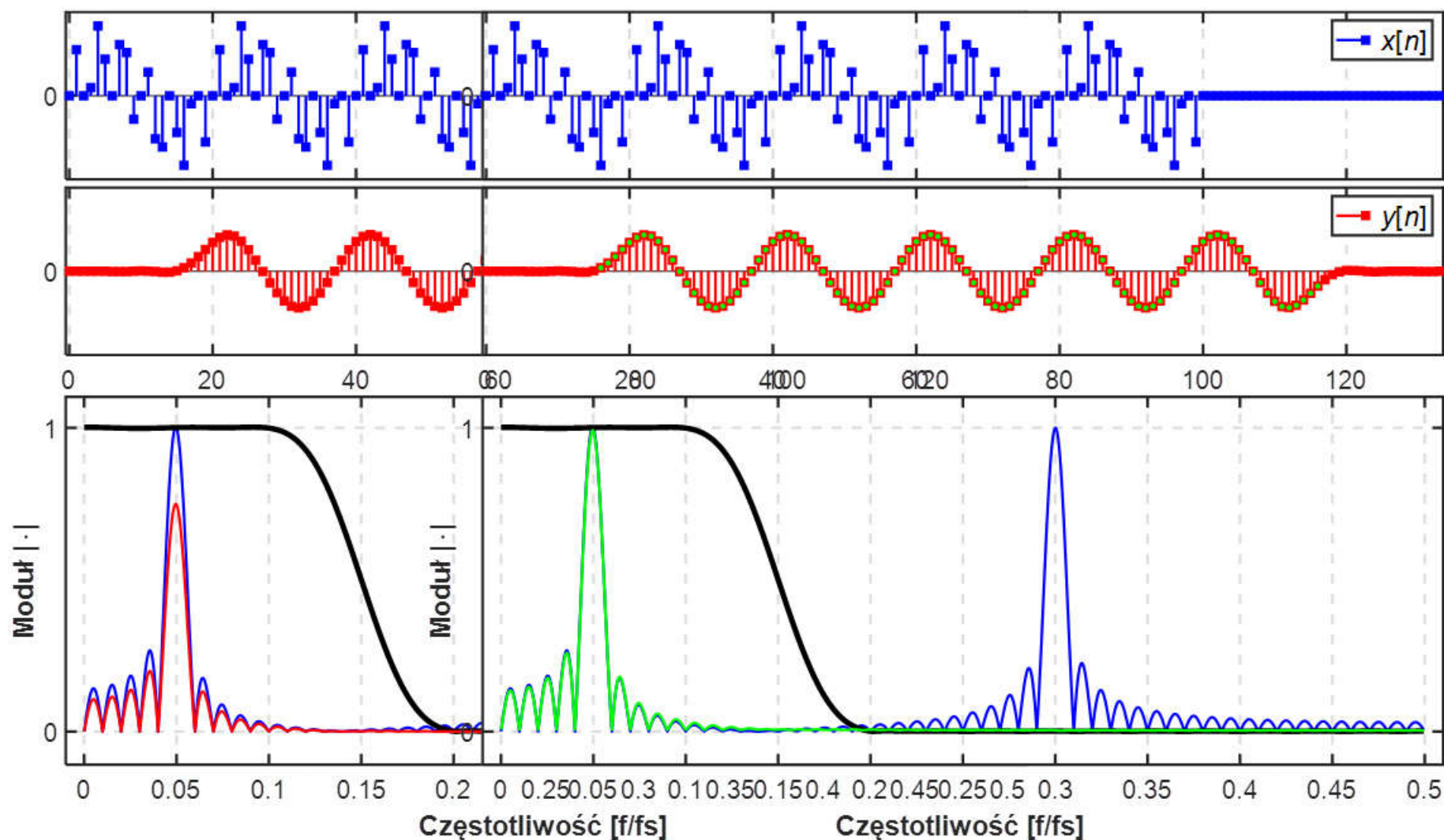
$$h_{PZ}[n] = \text{sinc}\left(\pi \left(n - \frac{R}{2}\right)\right) - h_{PP}[n]$$





# Filtracja FIR

## przykład (1), $R=34$



# Filtracja FIR

## przykład (2), $R=34$

